# Planar Pixel Sensor (PPS) Beam Test及び解析

陣内 修 (東工大) on behalf of アトラス日本シリコングループ

2013.5.23 @名古屋大学新学術領域研究 研究会

### Contents

- ビームテストを行う意義
- 近年行われたビームテストの概要
- 2012年9月(CERN) 解析結果(メイン)
- 2013年3月(DESY) 解析の近況
- 2011年 high-etaデータ解析、phi方向傾斜データ解析
- 今後の見通し



# ビーム試験:意義、手法

- (PPS用)p型センサー様々な開発設計→性能評価が必須
- 放射線照射後に バイアス構造、アイソレーション構造、 HV edgeプロテクション等の性能を確認
   → 善し悪しを評価し、次回の設計へFeed-Back
- 構造解析 1 pixel (250μm x 50μm) 内の検出効率分布を 知る必要がある
- そこでビームテスト: 高位置分解能検出器 「テレスコープ」Δx~3μmでビームの貫通位置を特定

### 2011年 PPSグループ ビームテスト

	7月@CERN				9月 @ CERN		
照射量	未照射 + 1.1e15/16 (p)				未照射+ 2e15(p)		
FEタイプ	FE-I3, FE-I4				FE-I4	後で少々触れる	
角度	0度	phi=15度	high-eta1	high-eta2	0度	phi=15度	high-eta2
レコ*	Done	Done	Not yet	Not yet	Done	Done	Done (old)
解析担当	永井	萩原	(John)	(John)	永井	萩原	本橋

ビームテスト解析 プーレーヤーの紹介

本橋(東工大M2)

山口 (東工大M1)

留目(東工大M1)

萩原 (筑波大M1)

コーチ兼現役 中村(KEK)

監督 海野(KEK) 助監督 池上、田窪(KEK)

レコ \* = Reconstruction (生データ→トラック再構成

、解析できるフォーマットへ)

マネージャー 陣内(東工大)、原(筑波大)

引退 永井(東工大D2), 久保田(東工大OB)

### 2012/2013年 PPSグループ ビームテスト

	2012年3月	2012年5月	2012年8月	2012年9月	2013年3月
場所	DESY	CERN	CERN	CERN	DESY
FEタイプ	FE-I4	FE-I3, FE-I4	FE-I3	FE-I4	FE-I4
照射量	2e15(p)	2e15/5e15(p)	2-5e15(n)	1e16(n)	5e15(p)
角度	0 deg	0 deg	0 deg	0 deg	0 deg
レコ*	Done	Not yet	Not yet	Done	Done (almost)
解析担当	(久保田)	ТВА	ТВА	久保田	本橋、中村

このトークのメイン

- 各人担当のデータがアサインされている
- PPSグループOfficialな形式で結果を出す必要性
  - Reconstructionソフトのversionを合わせる
  - 共通解析ツールを利用
- (AJ)グループ内の情報共有化が非常に有効

### 試験中のセンサー構造

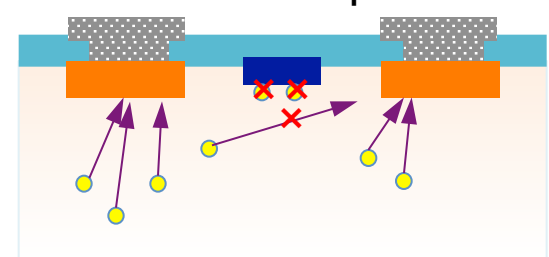
### [1] バイアス構造

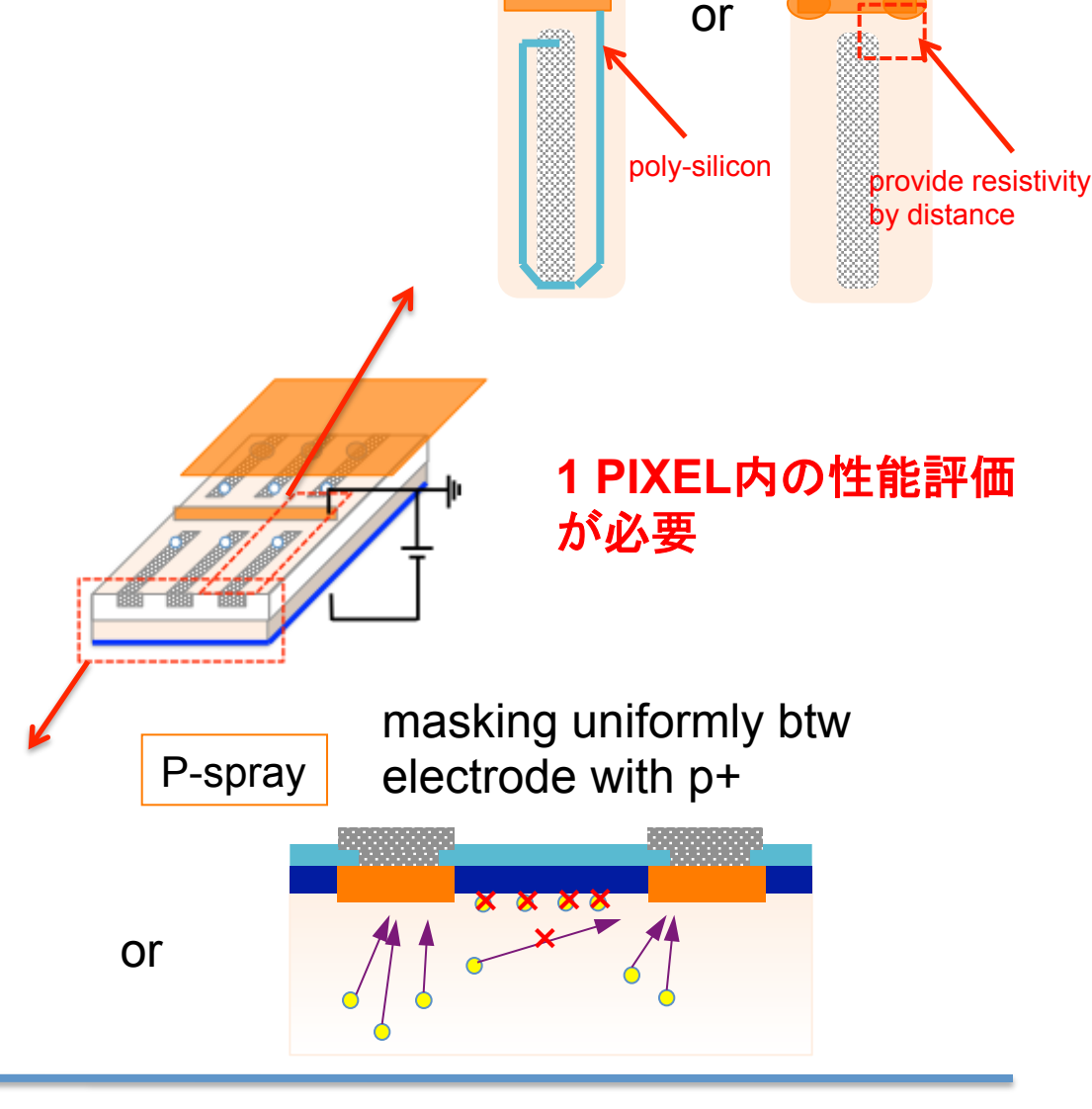
- GNDへ各ピクセルを抵抗を介して つなぐ→各ピクセルは分離
- 'Poly-Silicon抵抗', or 'Punch Through (PT) 抵抗' 設計

### [2] 電極分離構造

- 酸化膜のチャージアップ(+)による電荷収拾効率の低下を防ぐ
- 'Common P-stop', or 'P-spray' 設計

P-stop partially masking btw electrode with p+





Poly-Silicon

Punch Trough

PT dot

### 2012年9月のビームテスト解析

未照射 FE-I4 サンプル バイアス・スキャン: 6 – 700V

Sensor ID	Bias Type	Separation
#18	Punch Through	P-stop
#19	<b>Poly Silicon</b>	P-stop
#20	Punch Through	P-spray
#21	<b>Poly Silicon</b>	P-spray

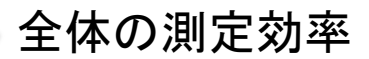
照射 neutrons-1E16neq/cm² FE-I4サンプル バイアス・スキャン: 200 – 1200V

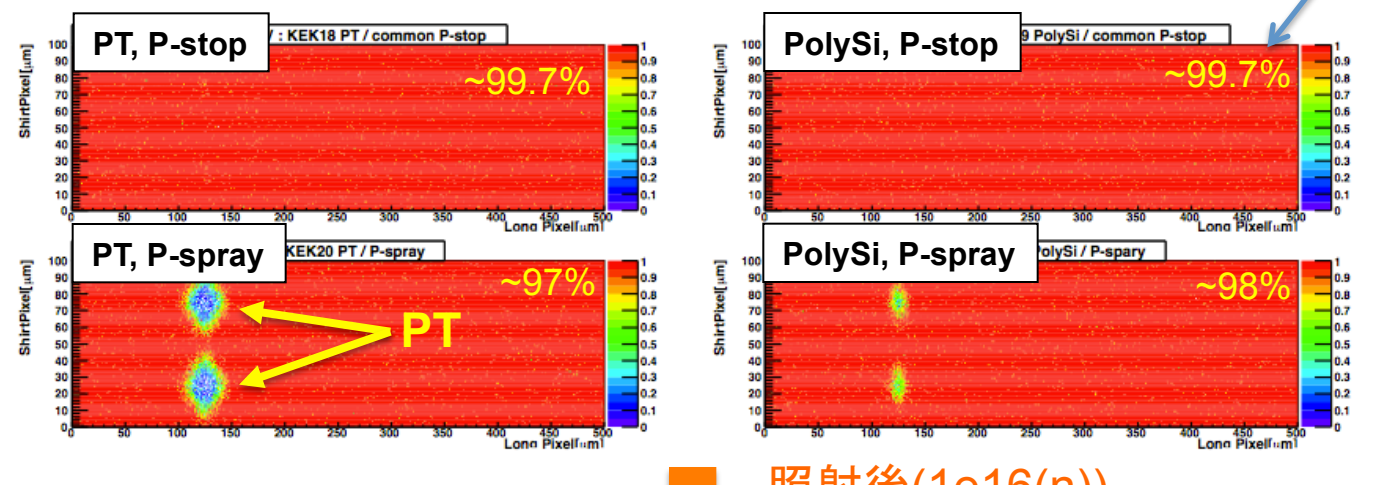
Sensor ID	Bias Type	Separation
NA	-	-
#32	<b>Poly Silicon</b>	P-stop
#33	Punch Through	P-spray
#34	Poly Silicon	P-spray

	Punch Through (PT)			Poly-Silicon (PolySi)		
P-Stop	#18,	PT, P-stop		#19, #32	PolySi, P-stop	
P-Spray	#20, #33	PT, P-spray			PolySi, P-spray	

全て150um厚

### 照射前&後の Hit Efficiency map

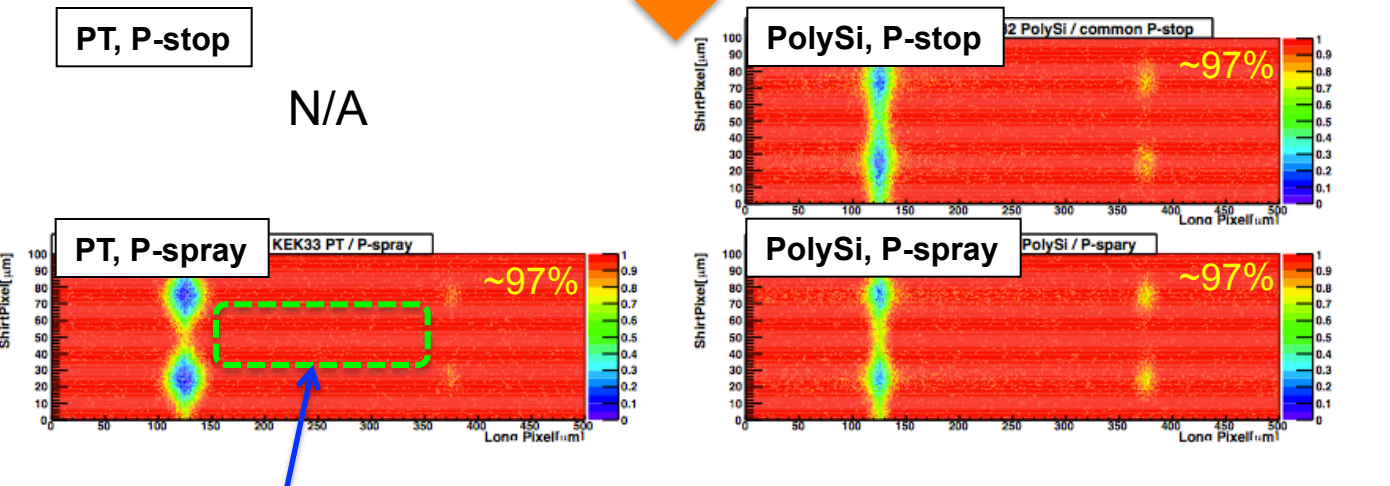




Bias = 100V (全空乏化)

bias構造が P-sprayタイプ で見られる(inefficiency)

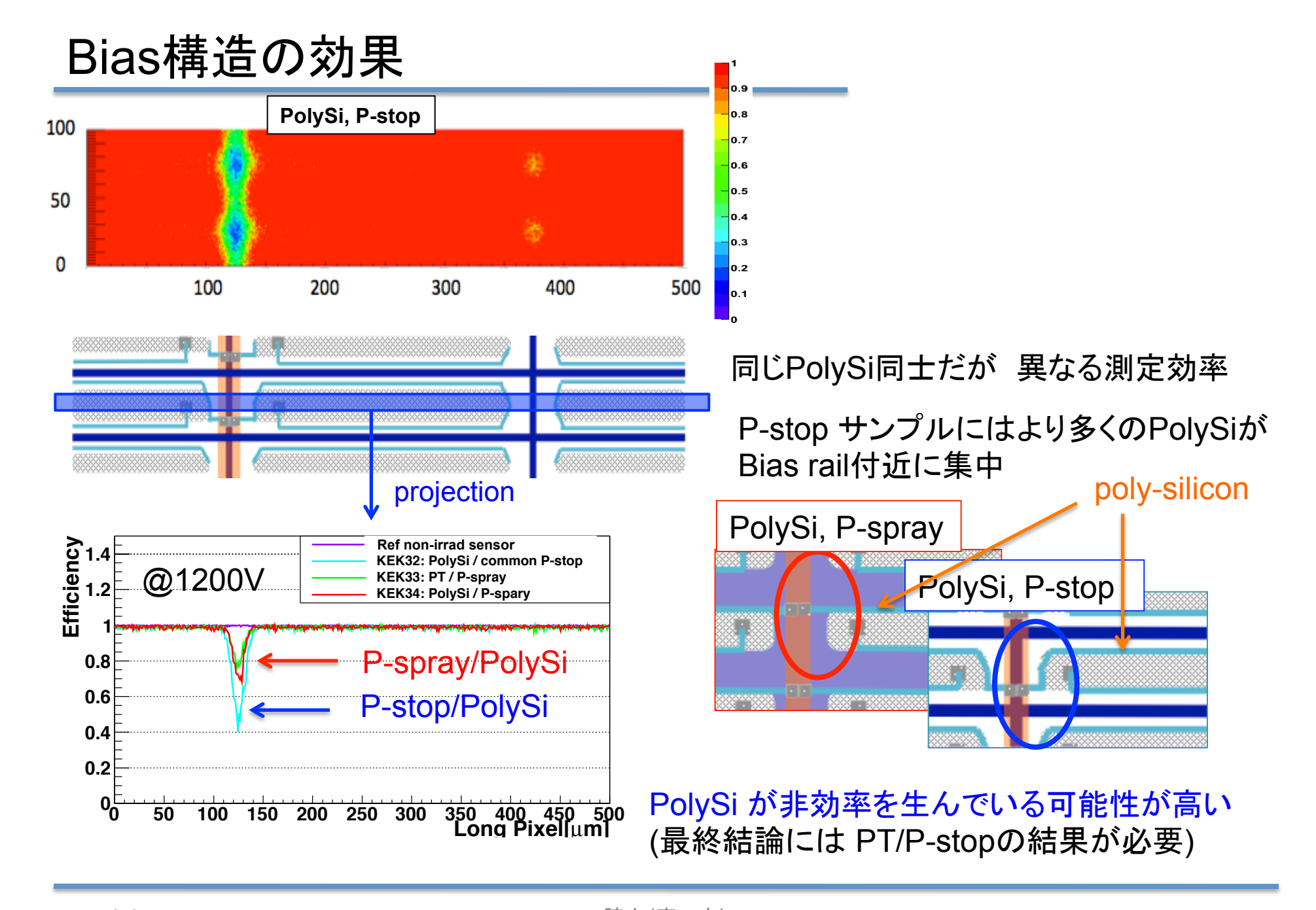




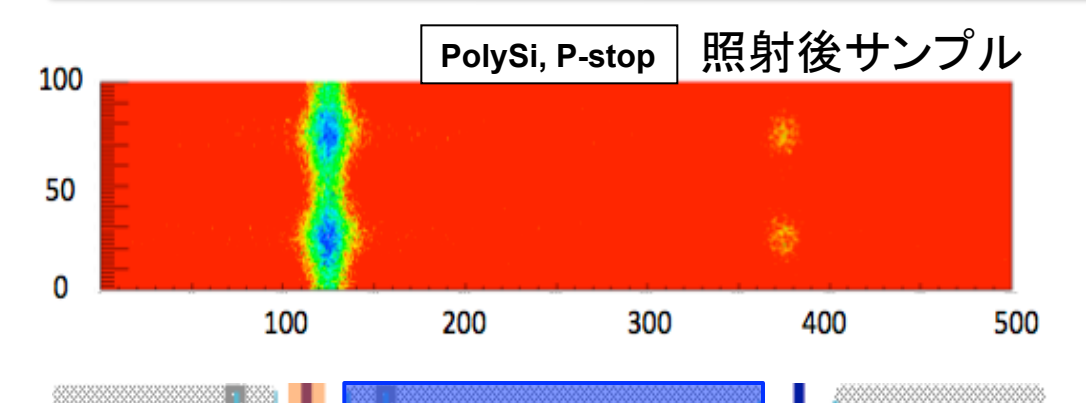
Bias = 1200V

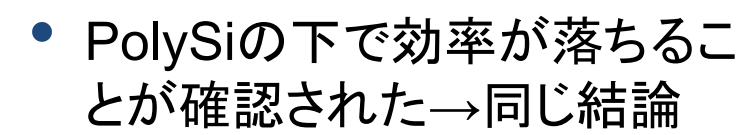
inefficient 領域が確認された bias rail, PT dot, PolySi

>99.7% @ 600V (各サンプルの電極領域)

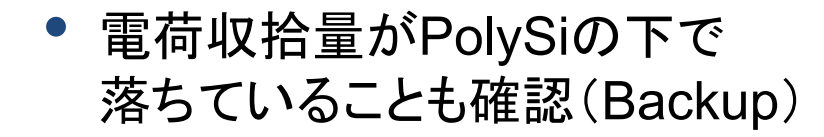


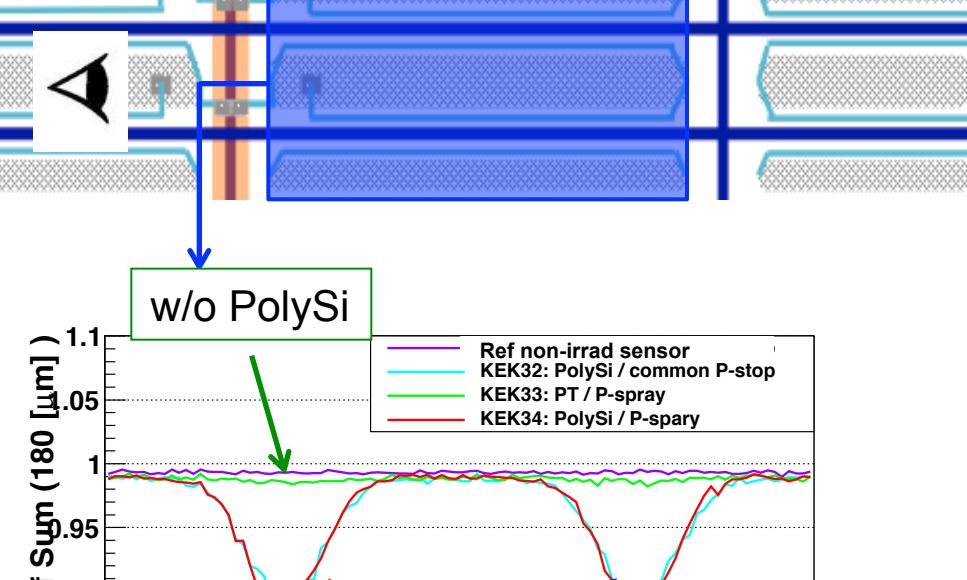
## Poly-Silicon抵抗効果





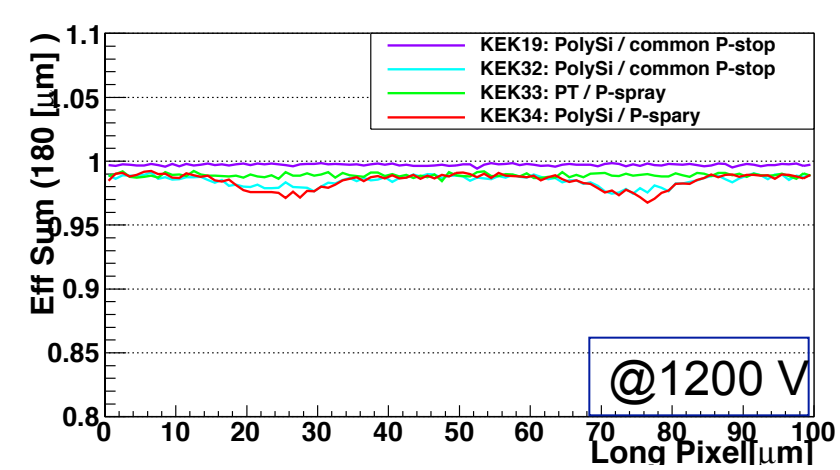
• 完全空乏化する1200Vでは 効果が減少, しかしまだ見える





w/ PolySi

→ 次期設計に活かされている



置 0.9

0.85

800

70 80 90 10 Long Pixelluml

### 2013年3月DESYビームテストデータの現状

▶ PT/common p-stop (照射後)これは9月データになかった(貴重)

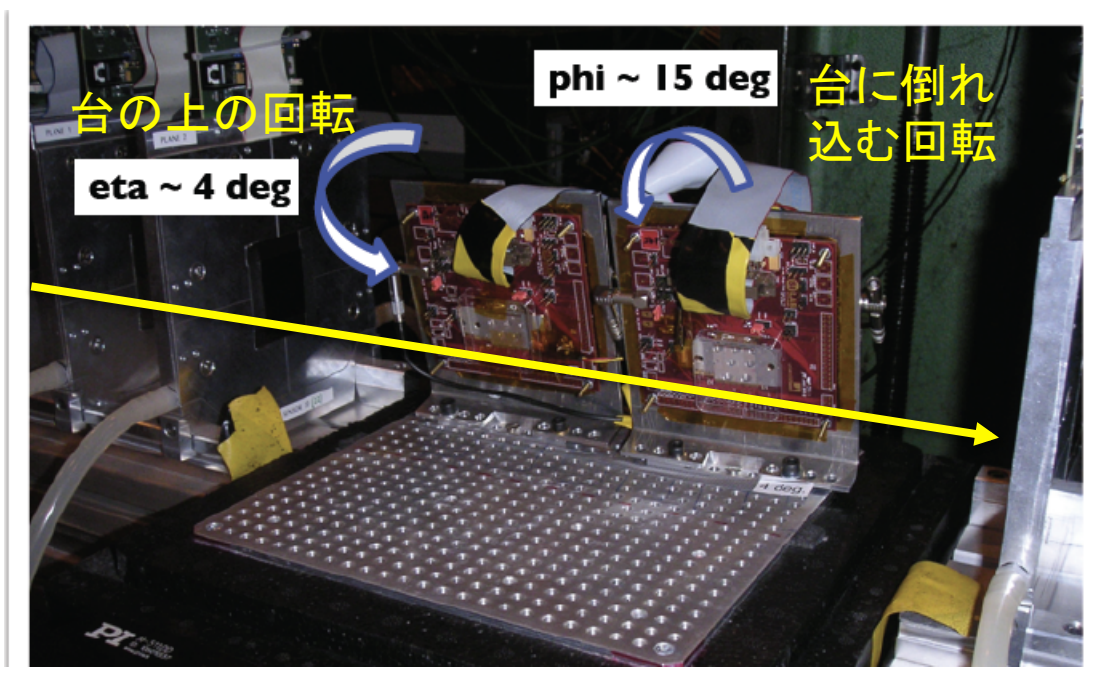
Batch	Sensor I	) Bias	Separation	Thickness	Dose
1a	#09	PolySi	Individual P-stop	150um	0
1e	#18	PT	Common P-stop	150um	5.1E15
1b	#19	PolySi	Common P-stop	150um	5.0E15
1d	#20	PT	P-spray	150um	5.6E15
1c	#21	PolySi	P-spray	150um	5.6E15
ref	#22	PT	P-spray	320um	0

9月の試験で 用いたものを 照射して試験

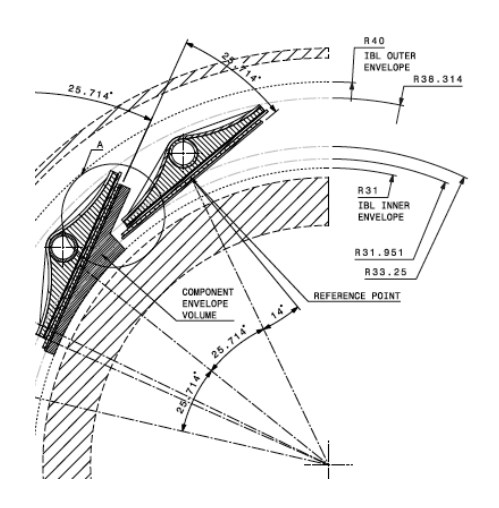
- 通常、日本グループの順は中盤→別グループが既にセットアップ 今回日本グループ最初→セットアップのノウハウを身につけた
- 上記サンプルは Parylen N でedge protectionされた(後に照射試験)
- 1200Vまでバイアスをかけられることを確認
- 現在Reconstructionが終わりデータを見始めているところ

### 入射粒子角度依存性

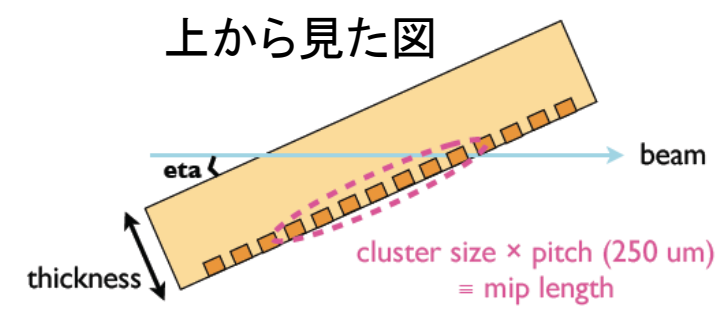
- Barrel状に配置
  - phi方向に 0-15度 程度
  - eta方向に 90-4度 程度 想定して性能評価を行う(重要)



#### IBL Φ方向14度傾き

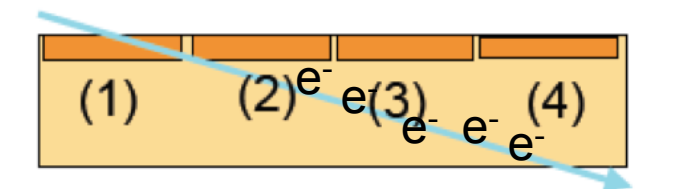


IBLはeta=3 (5.7度まで)



# high-eta解析の一部を紹介

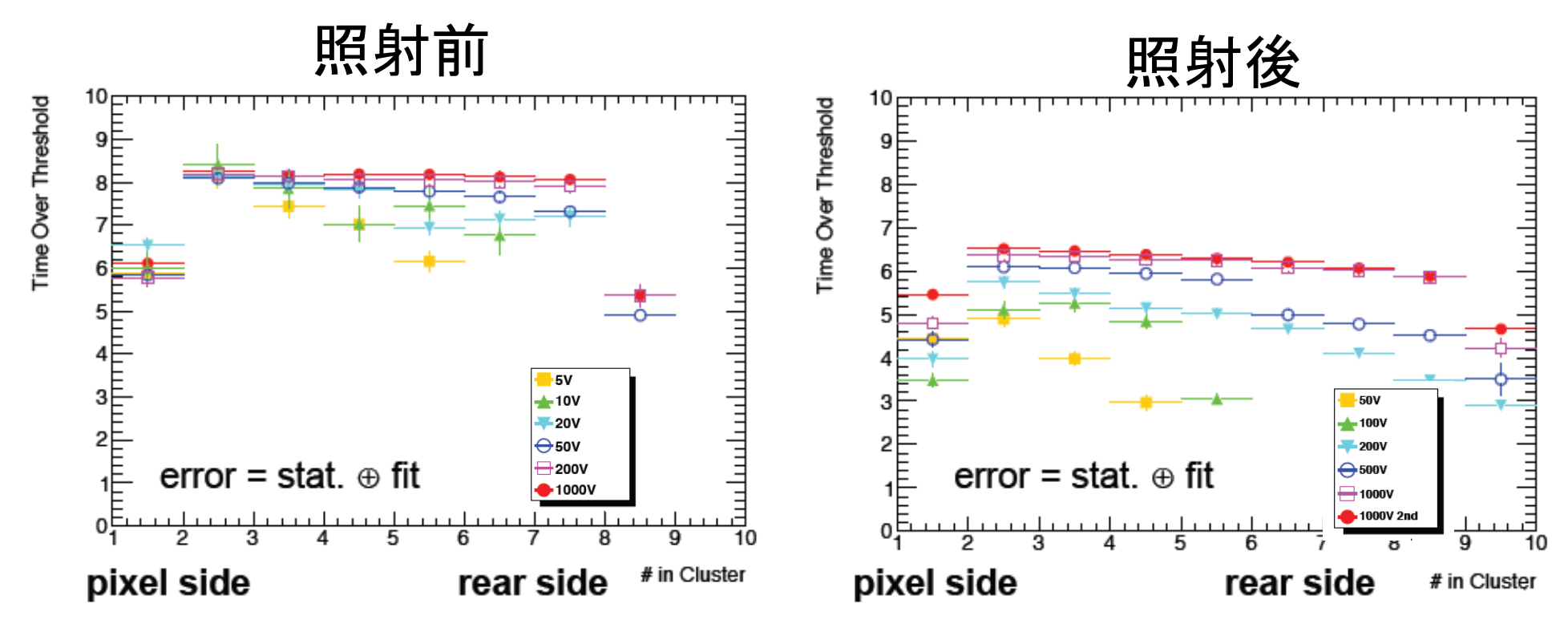
• 空乏化度合いを確認することができる



照射前:HVを上げる→クラスタサイズ大

→収拾電荷量も増える

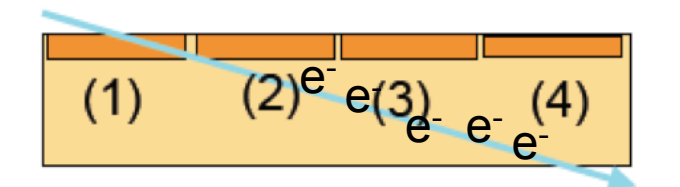
照射後: 電荷トラップの効果で収拾電荷量減る



high-etaデータのトラッキング電荷の絶対較正が現在の課題

# high-eta解析の一部を紹介

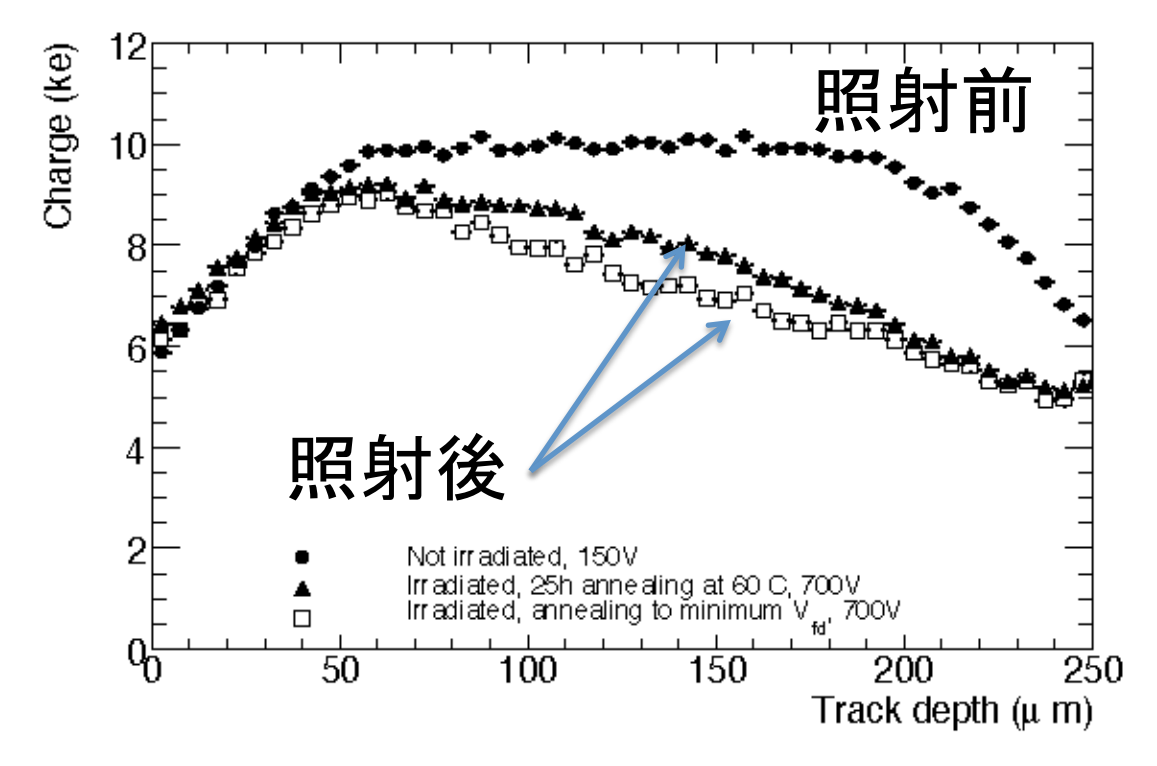
• 空乏化度合いを確認することができる



照射前:HVを上げる→クラスタサイズ大

→収拾電荷量も増える

照射後: 電荷トラップの効果で収拾電荷量減る



high-etaデータのトラッキング電荷の絶対較正が現在の課題

## phi方向傾斜 解析の一部を紹介

- phi方向傾斜により
  - シリコン通過距離増加→収拾電荷増&測定効率向上
  - 特定の構造がぼやける

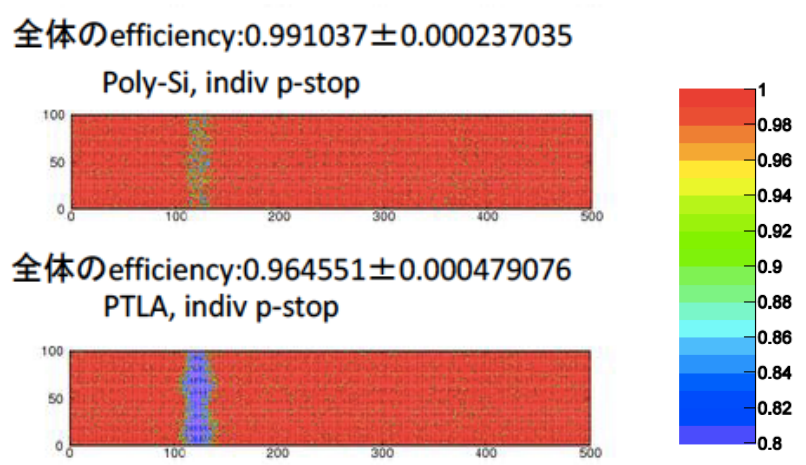
照射前サンプル Bias = 100V, センサー150µm厚

phi = 0度

全体のefficiency:0.988985±0.000279135 全体のPoly-Si, indiv p-stop

全体のefficiency:0.943798±0.000622912 PTLA, indiv p-stop

phi = 15度

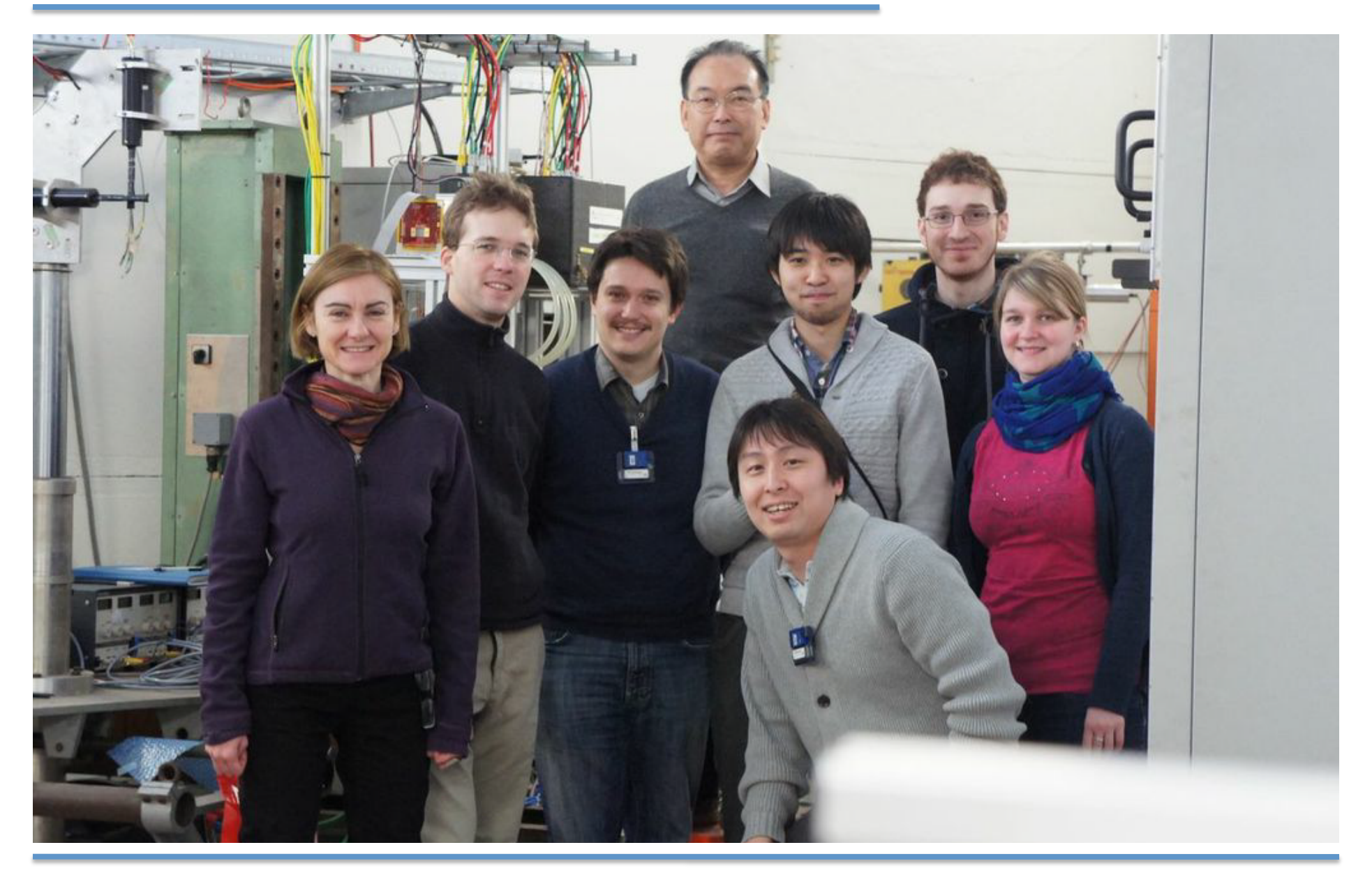


基本的な傾向は確認できた 各構造における影響の違いを今後詳しくみていく

### 今後の見通し

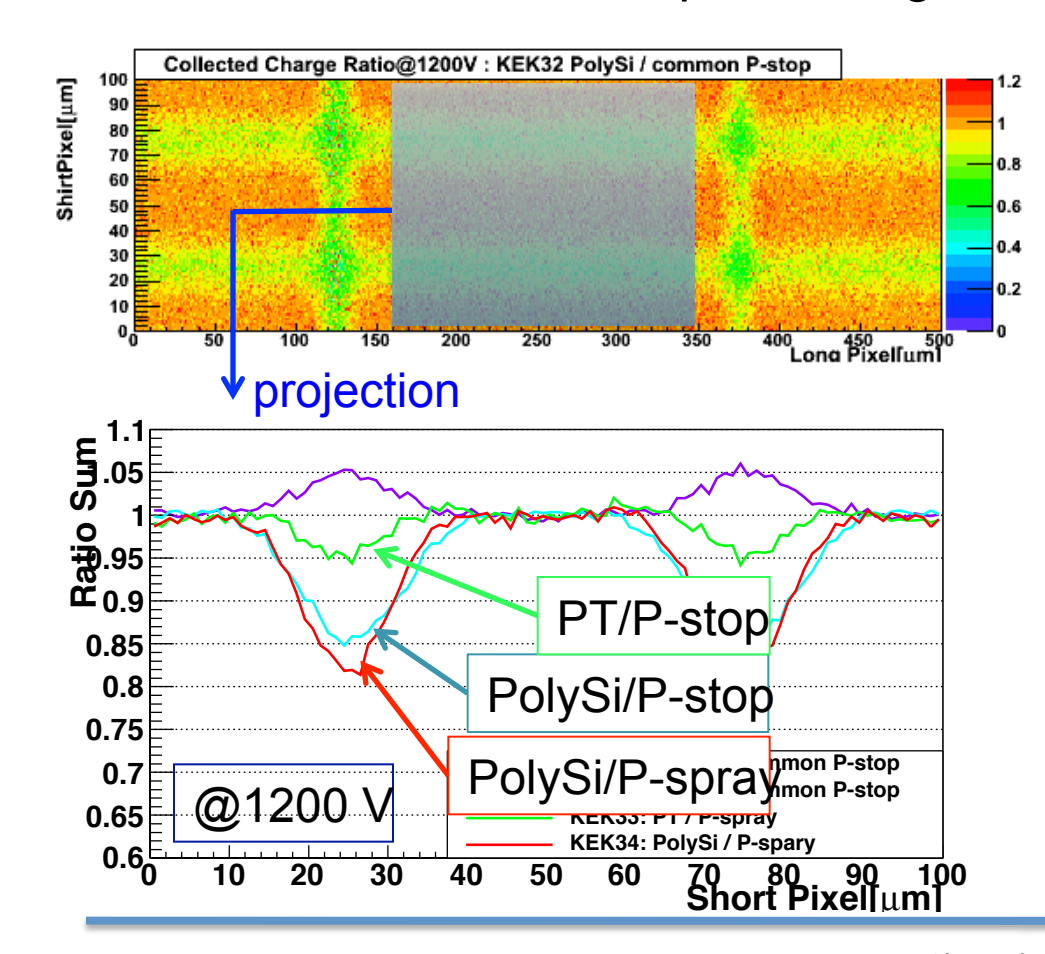
- ビームテスト解析
  - 2011年角度付きデータの解析 (high-eta 本橋・山口、 Phi 萩原)
  - 2011年0度データ 未解決トピックス (留目)
  - 2012/2013年3月 DESY(中村、本橋)
  - 2012年9月 CERN 未解決問題、TOTの絶対較正(中村)
  - 2012年5/8月 担当者の割当必要
- 今後のビームテスト
  - 2013年8月下旬 DESYにて 新設計センサー(未照射)をビーム試験
  - 2014年2月 DESY ビーム試験を予定

### extra materials



### Charge collection ratio

- The ratio is defined as
  - (TOT<sub>obs</sub>)/(TOT<sub>ave</sub>) where TOT<sub>ave</sub> is average TOT in electrode region
     N.B since TOT→ charge calib is not done & calib. is non-linear,
     this ratio is not pure charge ratio



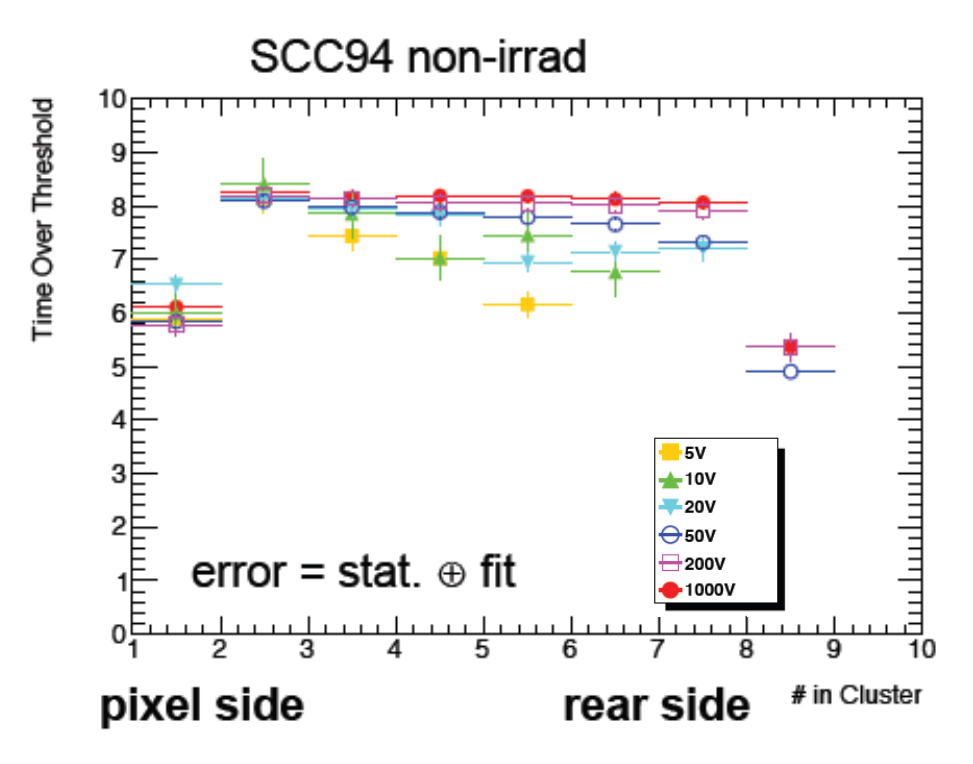
- charge loss at 1200V
  - PT/P-spray : 5.0%
  - PolySi/P-stop: 14.7%
  - PolySi/P-spray: 18.1 %
- charge loss in 'PolySi' types are significant
- **Short Conclusion**: PolySi register have caused the inefficiency (at least with the current design)
- possible explanation for the charge loss is in backup material

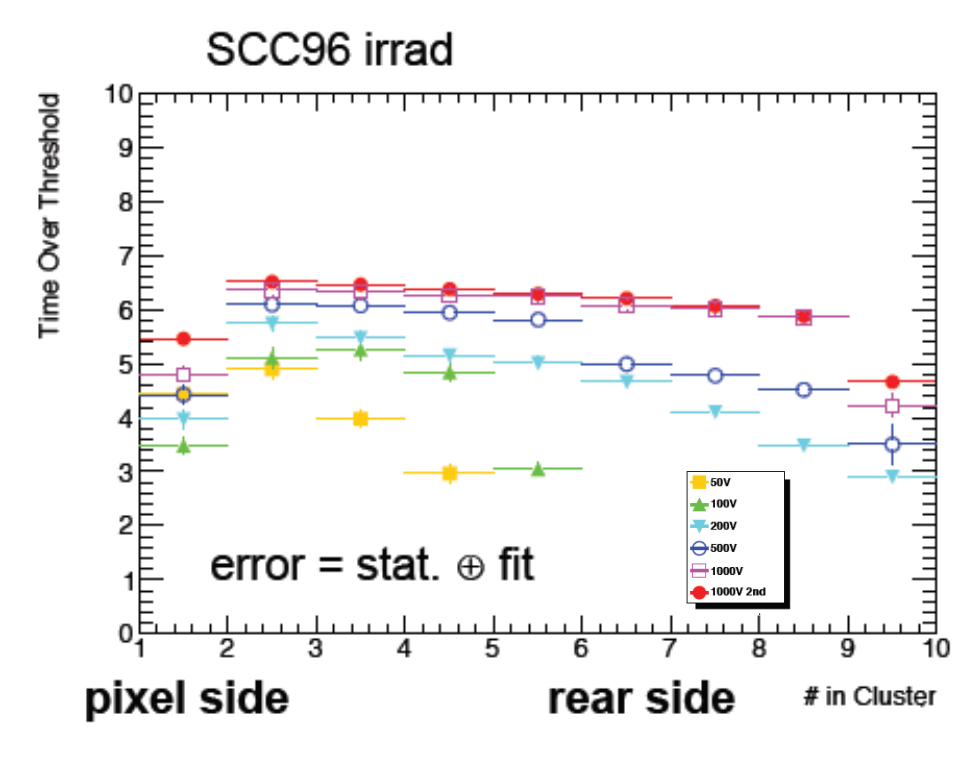
## high-eta data (2011) analysis status

- High-eta run: 2011 July for non-irrad, Sept. for irrad sensors
  - Analysis carried out by John Idarraga using Mafalda framework (the results presented in 8<sup>th</sup> Hiroshima Sympo. (Taiwan 2011 Dec)
  - Kazuki Motohashi revisits high-eta analysis with TBmon framework, currently works on the Sept. data
  - Reconstruction of Sept data is done, however the reconstruction seems to be not properly done (has problem with the alignment)
     Kazuki is going to rerun the reconstruction with proper setup
  - Several analysis (based on the cluster size, TOT without tracking info) are done, analysis class under TBmon are prepared by Kazuki

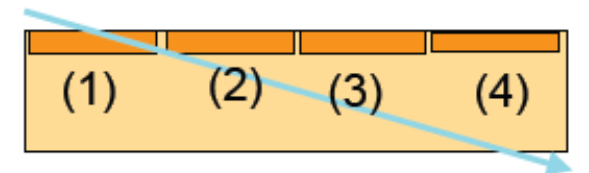


### **TOT vs Pixel # in Cluster**





 beam passed through sensors from pixel side to rear side



- TOT of first & last pixel is low
- → beam passed narrow region

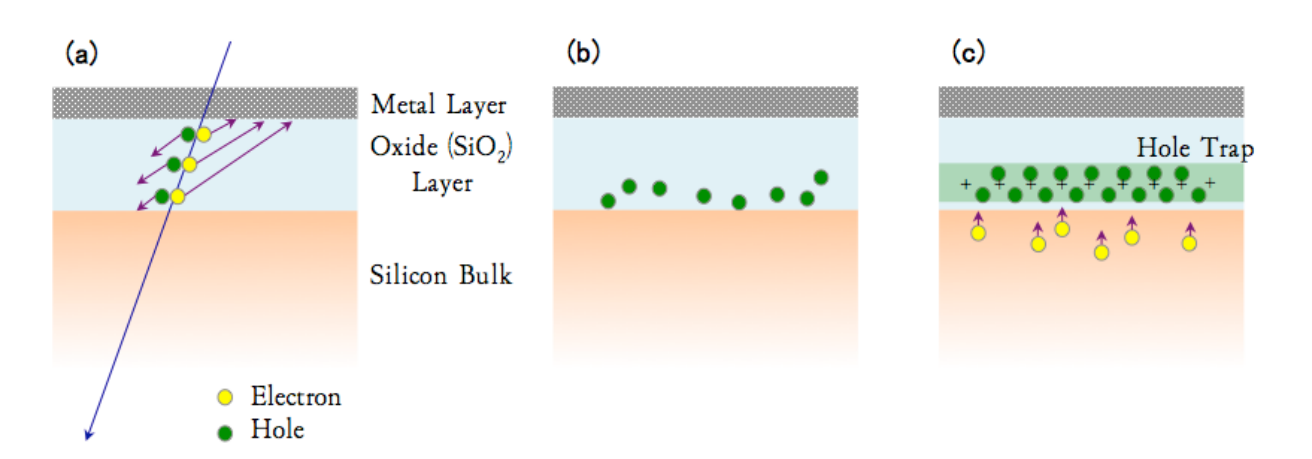
- depletion zone get widen with increasing HV
- more HV, more TOT
- irrad : more distant, less TOT
- → effect of trapping charge?
- these effect not appear so much in non-irrad

by K.Motohashi

### March 2013 TB measurement list

- ☐ Scan type: Bias voltage scan without sensors tilted
- Batch1a (0.5M triggers)
  - KEK22 (ref) & KEK09 (non-irrad : PolySi, individual p-Stop)
  - HV<sub>both</sub>: 6, 14, 25, 40, 57, 100, 200, 400V
- Batch1b (1M triggers)
  - KEK22 (ref) & KEK19 (irrad : PolySi, Common p-Stop)
  - HV<sub>ref</sub>: 300V, HV<sub>DUT</sub>: 260, 15, 65, 145, 400, 600, 800, 1000, 1200V
- Batch1c (1M triggers)
  - KEK22 (ref) & KEK21 (irrad : PolySi, Common p-Stop)
  - HV<sub>ref</sub>: 300V, HV<sub>DUT</sub>: 200, 400, 600, 800, 1000, 1200V
- Batch1d (1M triggers)
  - KEK22 (ref) & KEK20 (irrad : PT, p-spray)
  - HV<sub>ref</sub>: 300V, HV<sub>DUT</sub>: 200, 400, 600, 800, 1000, 1200V
- Batch1e (1M triggers)
  - KEK22 (ref) & KEK18 (irrad : PT, Common p-Stop)
  - HV<sub>ref</sub>: 300V, HV<sub>DUT</sub>: 200, 400, 600, 800, 1000, 1200V
- Kazuki and Koji are trying to reconstruct these data

### Charge Loss Mechanism : Surface Damage



- The efficiency loss due the the bias structure is explainable from the surface damage of the Oxide layer
- Surface damage mechanism
  - ionizing radiations would create electron-hole pairs
  - the electrons are absorbed in the metal layer owing to its larger mobility
  - holes are trapped in oxide layer (at the transition region)
  - electric field are effectively decreased, causing slower change collection, end up with the lower collected charge with certain readout
  - Under Bias rail and, poly-silicon resisters, such effect would happen